

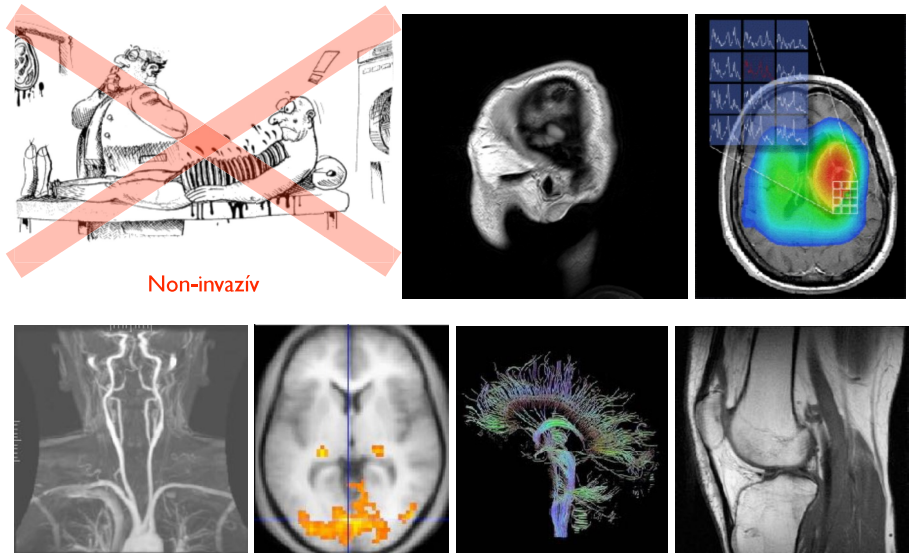
Times, 2003. október 9

The Shameful Wrong That Must Be Righted

This year the committee that awards The Nobel Prize for Physiology or Medicine did the one thing it has no right to do: it ignored the truth. Eminent scientists, leading medical textbooks and the historical facts are in disagreement with the decision of the committee. So is the U. S. Patent Office. Even Alfred Nobel's will is in disagreement. The committee is attempting to rewrite history.

The Nobel Prize Committee to Physiology or Medicine chose to award the prize, not to the medical doctor/research scientist who made the breakthrough discovery on which all MRI technology is based, but to two scientists who later made technological improvements based on his discovery.

MRI: orvosi diagnosztikát forradalmasító képalkotó módszer



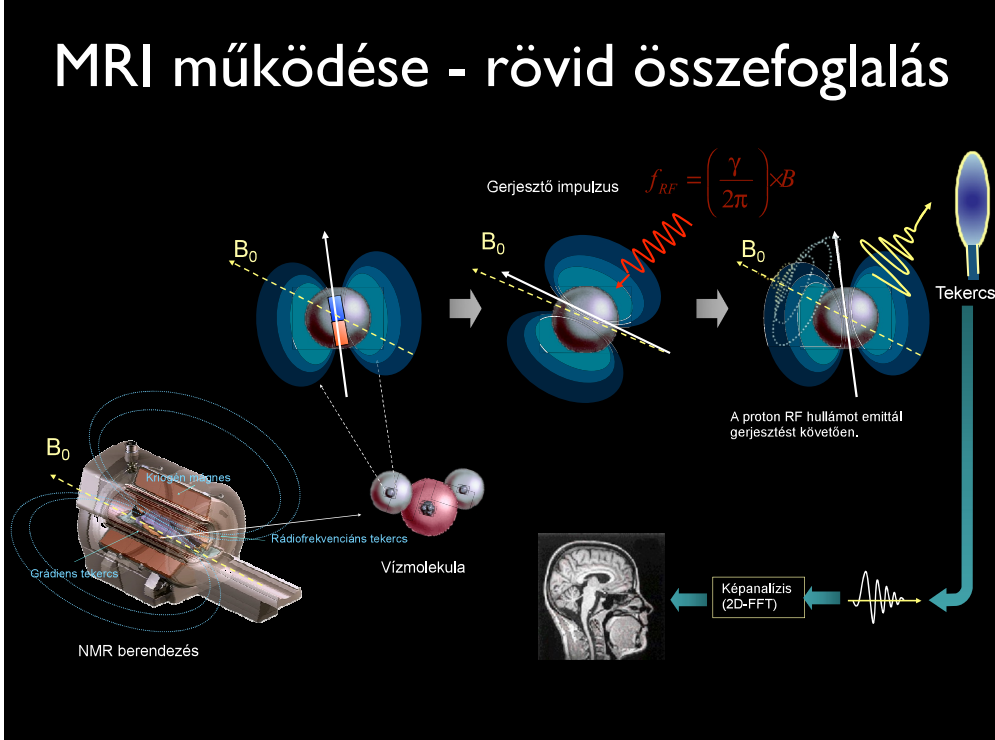
MRI

- Történelem
- MRI alapok
Magspin, precesszió, rezonancia, gerjesztés-relaxáció
- MRI képalkotás
 - I. Térkódolás
 - II. Képrekonstrukció
 - III. Színkontraszt
 - IV. Szkennerek
 - V. Kontrasztanyagok
 - VI. Műtermékek
 - VII. Veszélyek, kontraindikációk
- Alkalmazások, a jövő irányai

MRI történelem

- 1970 - Raymond Damadian: rákos és normál szövetek T1 és T2 relaxációs idői különböznek.
- 1972 - Raymond Damadian: US patent
- 1973 - Paul Lauterbur: 2D MR képalkotó módszer
- 1974 - Peter Mansfield: 3D MR képalkotó módszer
- 1977 - Raymond Damadian: az első MR szkenner ("focused field" módszer)
- 2003 - Nobel-díj: Lauterbur, Mansfield
- NMR: Legtöbb Nobel-díjjal kitüntetett módszer (6)
Otto Stern (1942), Isidor Rabi (1944), Felix Bloch, Edward Purcell (1952), Richard Ernst (1991), Kurt Wüthrich (2002)

MRI működése - rövid összefoglalás



MRI alapok

I. az eredő spinnel rendelkező atommagok elemi mágnesek



Otto Stern

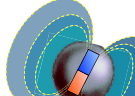


W. Gerlach



Atommag tömege:

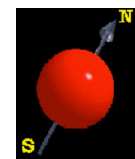
$$m_{\text{proton}} = 1,67 \cdot 10^{-24} \text{ g}$$



Atommag perdülete:

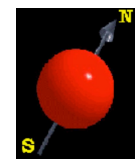
$$L = \sqrt{l(l+1)}\hbar$$

l = spin kvantum szám



Atommag töltése:

$$q_{\text{proton}} = 1,6 \cdot 10^{-19} \text{ C}$$



Atommag eredő mágneses momentumára:

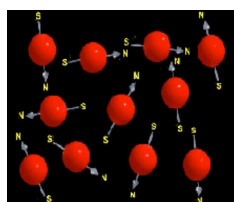
$$\mu_i = \gamma L$$

γ = giromágneses hártyados
 L = magspin

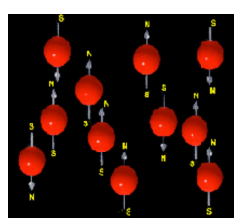
MRI-ben hasznos atommagok: ^1H , ^{13}C , ^{19}F , ^{23}N , ^{31}P

MRI alapok

II. Mágneses térben a magspinek orientálódnak

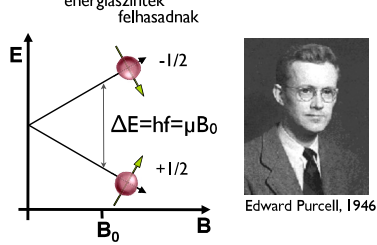


Mágneses tér hiányában:
elemi mágnesek orientációja random



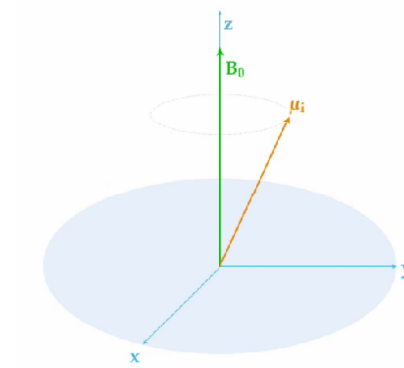
Mágneses téren:

elemi mágnesek orientálódnak
 B_0 parallel
 antiparallel



MRI alapok

Az orientált magspinek precessziós mozgást végeznek



Precessziós vagy Larmor frekvencia:

$$\omega_0 = \gamma B_0$$

$$f_{\text{Larmor}} = \frac{\gamma}{2\pi} B_0$$

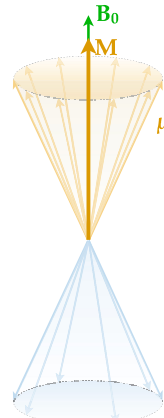


Felix Bloch, 1946

Makroszkópos mágnesezettség

Különböző energiaszinteken spintöbblet miatt

Alacsony energiájú állapot
parallel a proton esetében



B_0 = mágneses tér
 M = makroszkópus mágnesezettség

A nagy (parallel) ill. alacsony (antiparallel) energiájú spinállapotok aranya:

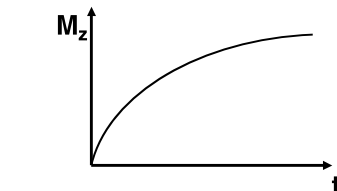
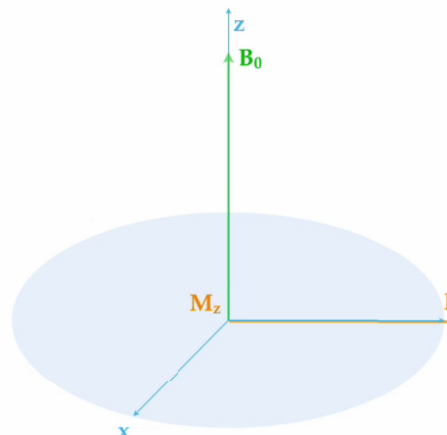
$$\frac{N_{\text{antiparallel}}}{N_{\text{parallel}}} = e^{-\frac{\Delta E}{k_B T}}$$

(Boltzmann-eloszlás)

MRI-ben alkalmazott mágneses térerő:
Föld mágneses térréjének 20-50 ezerszerese

Nagy energiájú állapot
antiparallel a proton esetében

Spin-rács relaxáció T1 vagy longitudinális relaxáció

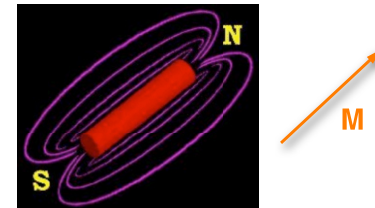


T1 relaxációs idő:
elemi mágnes (proton) és
könyezete közötti kölcsönhatásra utal

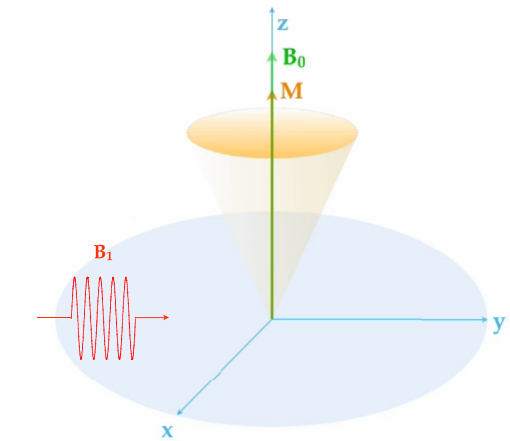
MRI alapok

III. rádfrekvenciás sugárzással a rendszer gerjeszthető

Rezonancia feltétel: Larmor frekvencia

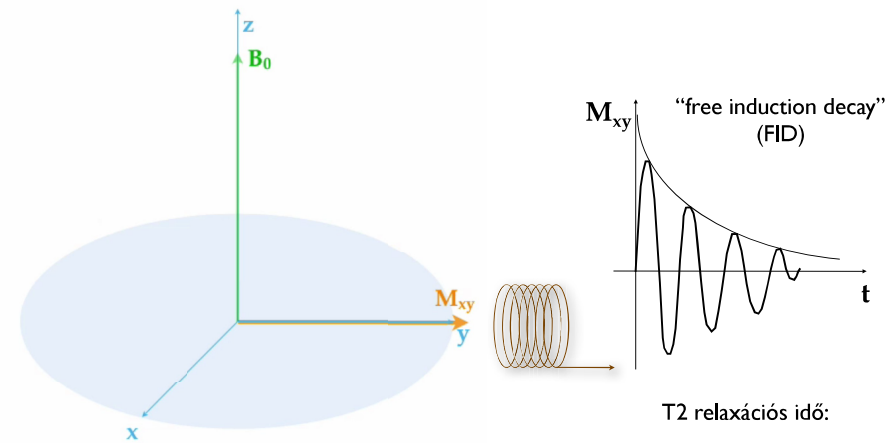


B_0 = mágneses tér
 M = makroszkópos mágnesezettség
 B_1 = besugárzott elektromágneses tér



MRI-ben alkalmazott
elektronágneses sugárzás:
Rádiófrekvencia

Spin-spin relaxáció T2 vagy tranzverzális relaxáció



T2 relaxációs idő:
elemi mágnesek (protonok)
közötti kölcsönhatásra utal

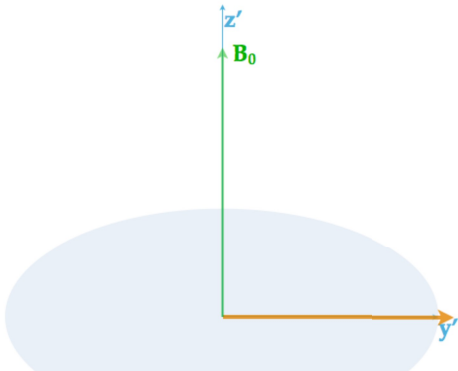
Spin-spin relaxáció

T2 vagy tranzverzális relaxáció

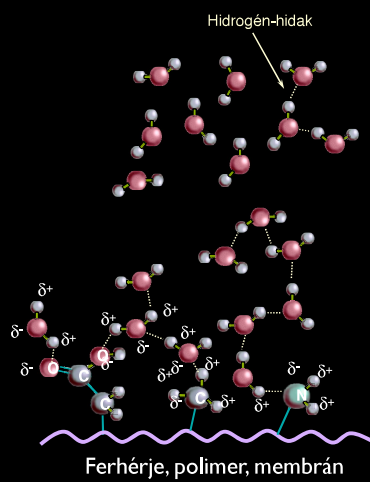
Ismétlődő gerjesztő és relaxációs impulzusok: spin-echo szekvencia



Erwin Hahn, 1949



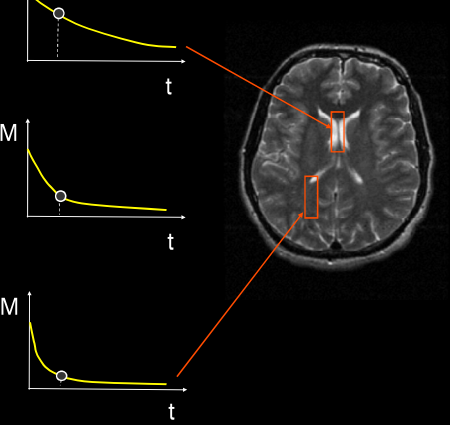
Kontraszt lehetőség a spin rendszerek kölcsönhatásai alapján



SZABAD VÍZ
Nagy mobilitás

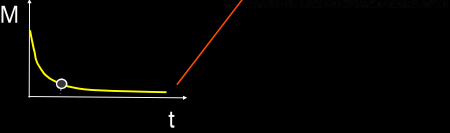


INTERMÉDIER
RÉTEG

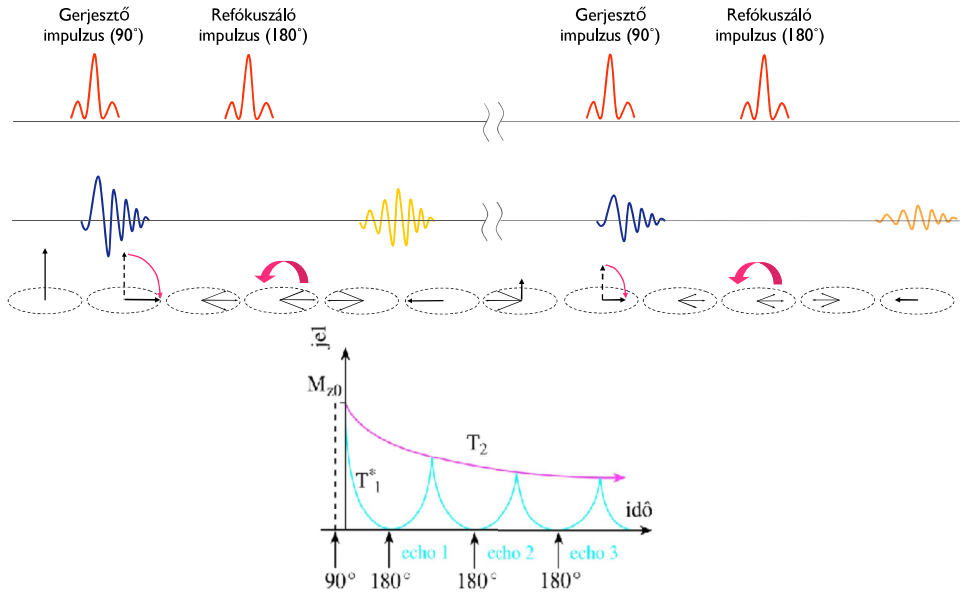


KÖTÖTT
VÍZ
RÉTEG

Alacsony
mobilitás

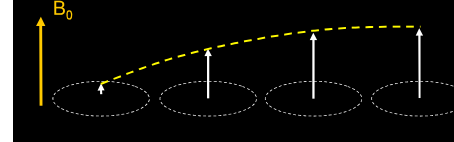
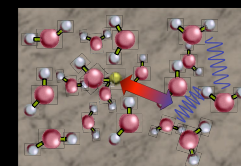


A “spin-echo” kísérlet



Kontrasztot adó relaxációs mechanizmusok

Spin-rács relaxáció T1



A longitudinális mágneszettség helyreállása

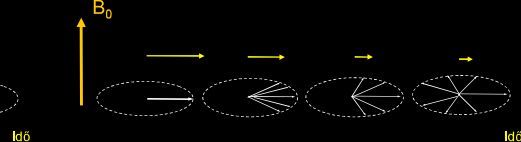
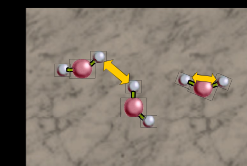
Energiaátadás a rácsnak (fononok - kollektív gerjesztett állapot rugalmas közegben)

Entrópiarövekkel jár

Spin repopuláció az spin-energiaszintek között

Kölcsönhatás a mágneses tér fluktuációval a Larmor frekvencián

Spin-spin relaxáció T2



A tranzverzális mágneszettség fázis szerinti deszinkronizációja

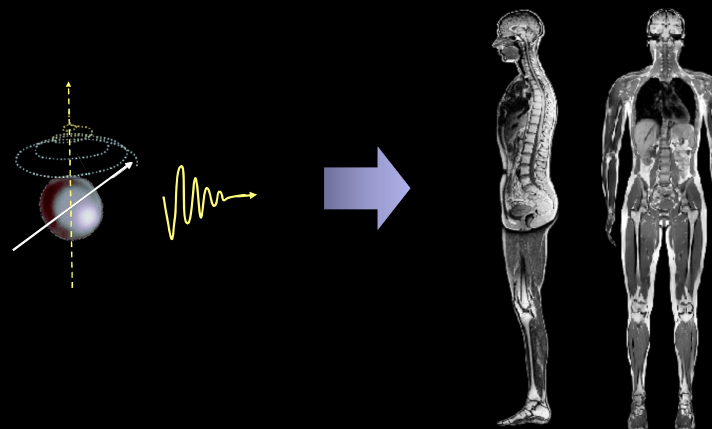
Energiaátadás a spinek között

A spinrendszer entrópiája nem változik

Nincs spin repopuláció az spin-energiaszintek között

Kölcsönhatás a mágneses tér fluktuációval alacsony frekvencián

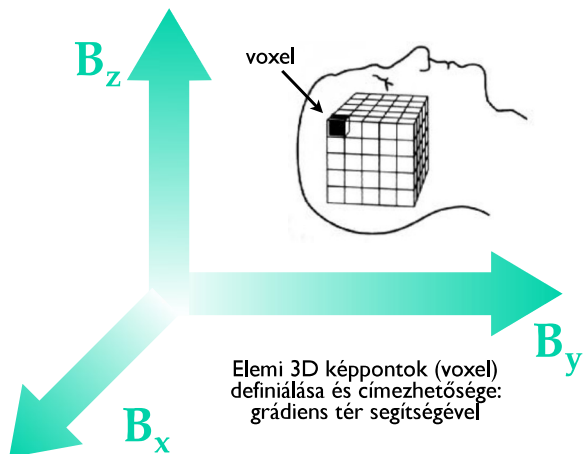
Az NMR-től az MRI-ig



MRI képalkotás I. Térbeli kódolás



Paul C. Lauterbur (1929-) Térbeli felbontású NMR kidolgozása



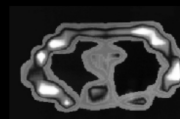
Elemi 3D képpontok (voxel)
definiálása és címezhetősége:
grádiens tér segítségével

MRI: az emberi test makroszkópikus mágnesezettségét hozza létre

Downstate Medical Center - Brooklyn, 1972



Raymond V. Damadian

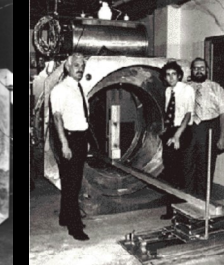
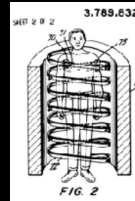


Az első MRI felvétel

United States Patent [19] Damadian

[54] APPARATUS AND METHOD FOR DETECTING CANCER IN TISSUE
[76] Inventor: Raymond V. Damadian, 64 Short Hill Rd., Freehold, N.J. 07728
[27] Filed: Mar. 17, 1972
[21] Appl. No.: 339,624

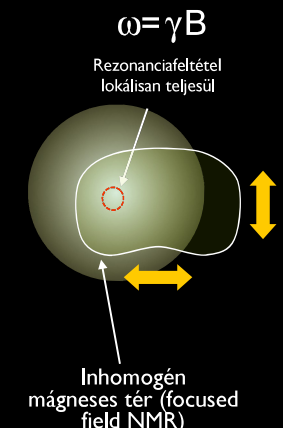
[52] U.S. CL. 128/2 R, 128/2 A, 324/5 R
[51] Int. Cl. A61B 5/35
[58] Field of Search 128/2 R, 2 A, 1, 3, 324/5 R, 324/5 H



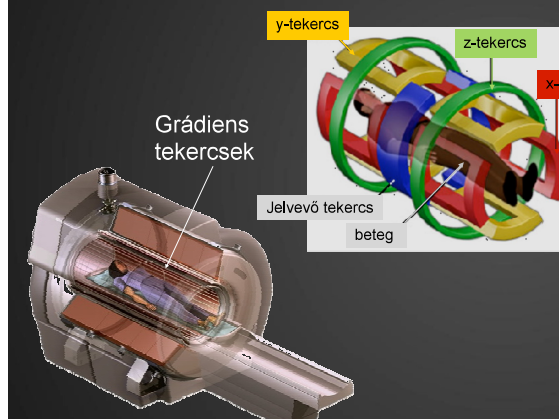
| 1970: megnött relaxációs idők rákoss szövetben
| 1972: humán invivo 3D NMR elvénék kidolgozása
| 1977: felső emberi MRI felvétel

$$\omega = \gamma B$$

Rezonanciafeltétel
lokálisan teljesül



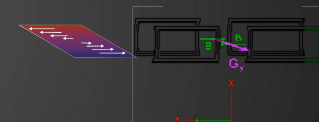
Térben változó mágneses tér létrehozása: "grádiens" tekercsekkel



X-grádiens tekercs



Y-grádiens tekercs

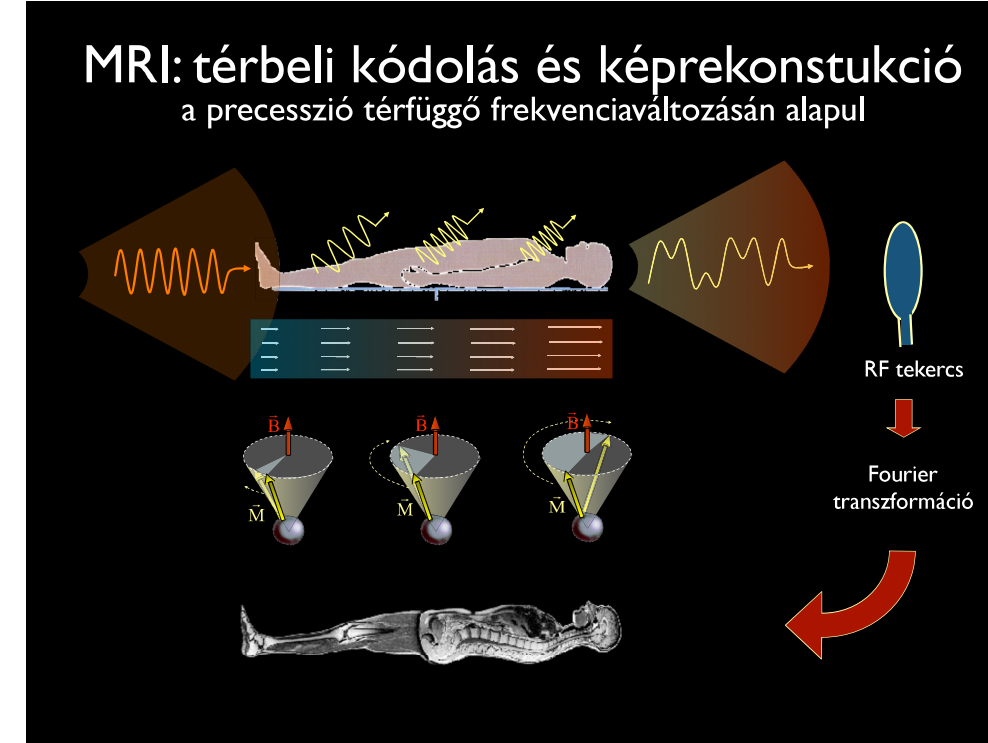
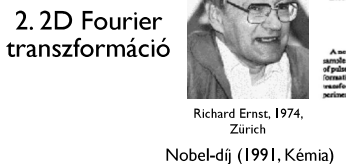
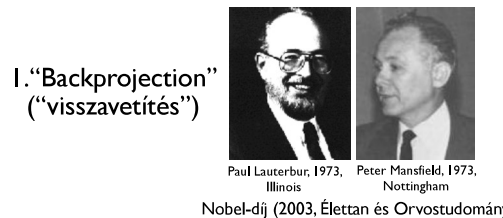


Z-grádiens tekercs



MRI Képalkotás

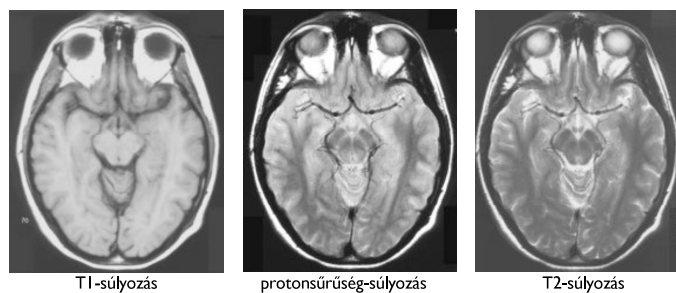
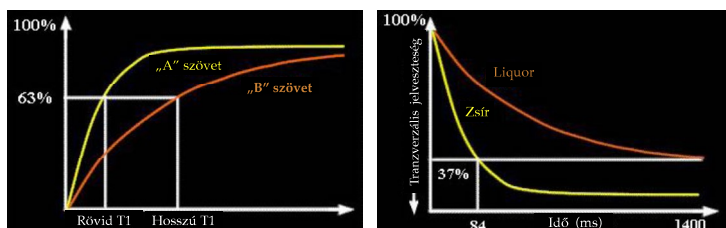
II. Képrekonstrukció



MRI képalkotás

III. színkontraszt felbontása

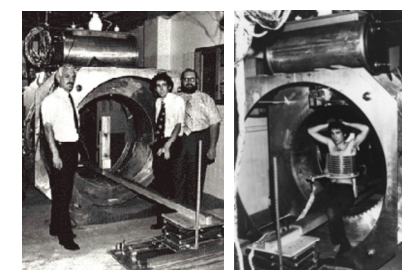
spinsűrűség és relaxációs idők alapján



MRI képalkotás:

IV. Szkennerek

Hőskor



Jelen



MRI képalkotás:

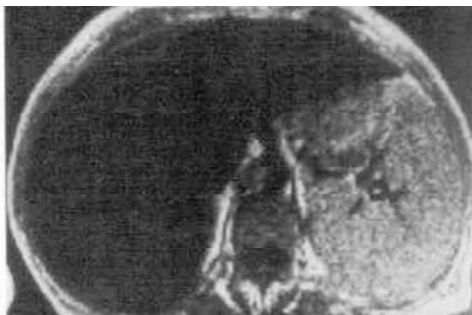
V. Kontrasztanyagok

Pozitív: paramágneses elemek (T1 kontraszt): Gd, Mn

Negatív: szuperparamágneses, ferromágneses (T2 kontraszt): FeIII, MnII



CT



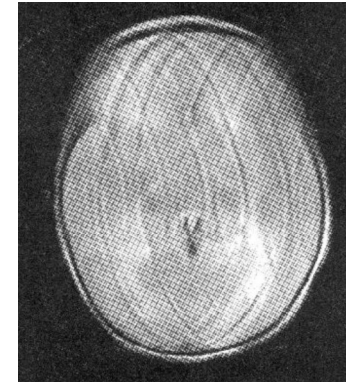
MR T2

Haemochromatosis hepatis (vasfelhalmozódás a májszövetben)

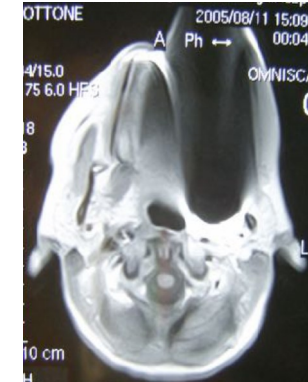
MRI képalkotás:

VI. Műtermékek

- Mozgás
- Fémek (implantátum, sérülés)



Mozgási műtermék



Fém az orbitában

MRI képalkotás:

VII. Veszélyek, kontraindikációk

• Sztatikus mágneses tér - fémtárgyak

Kontraindikációk: beépített eszközök (pacemaker, defibrillátor, hallókészülék, csontnövekedést serkentő készülék, gyógyszeradagoló), neurostimulátorok, agyi aneurysma csatok, régi típusú szívbillentyűk

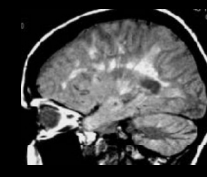
• Grádiens tér - áramindukció

• Rádiófrekvenciás tér - hőhatás (szemlencse, here)

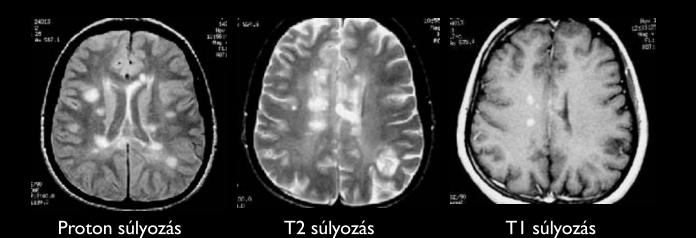
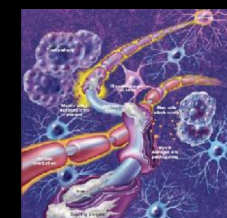


Alkalmazások: Anatomiai képalkotás

sclerosis multiplex



Proton súlyozás
(sagittalis)

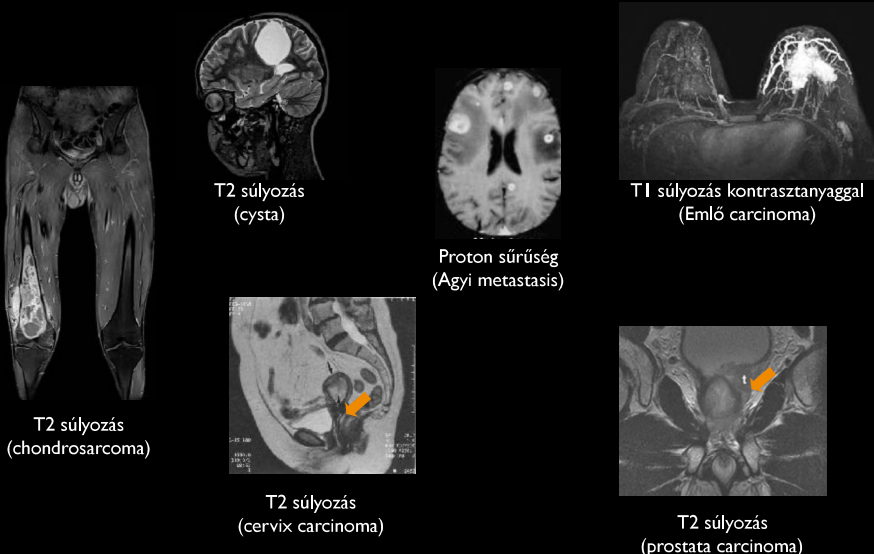


Proton súlyozás
(transversalis)

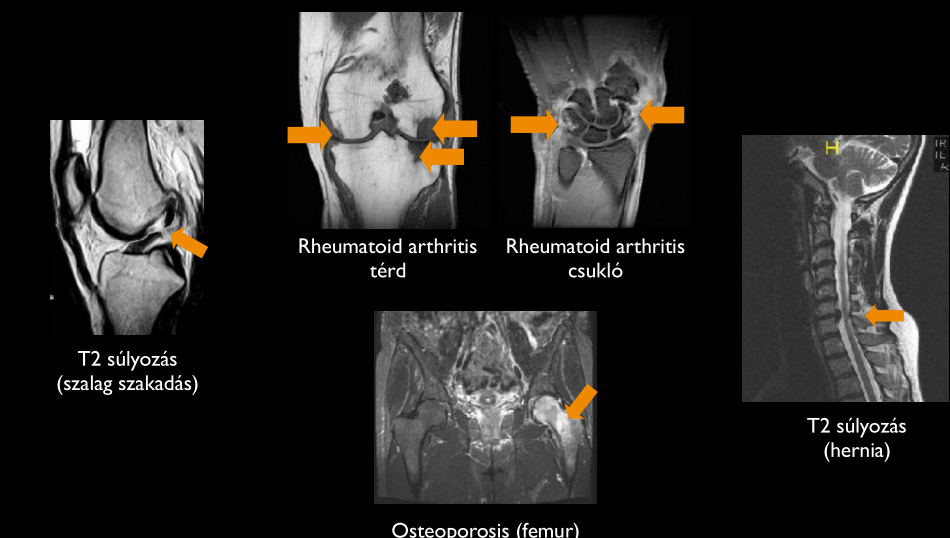
T2 súlyozás
(transversalis)

T1 súlyozás
(kontrasztanyaggal)

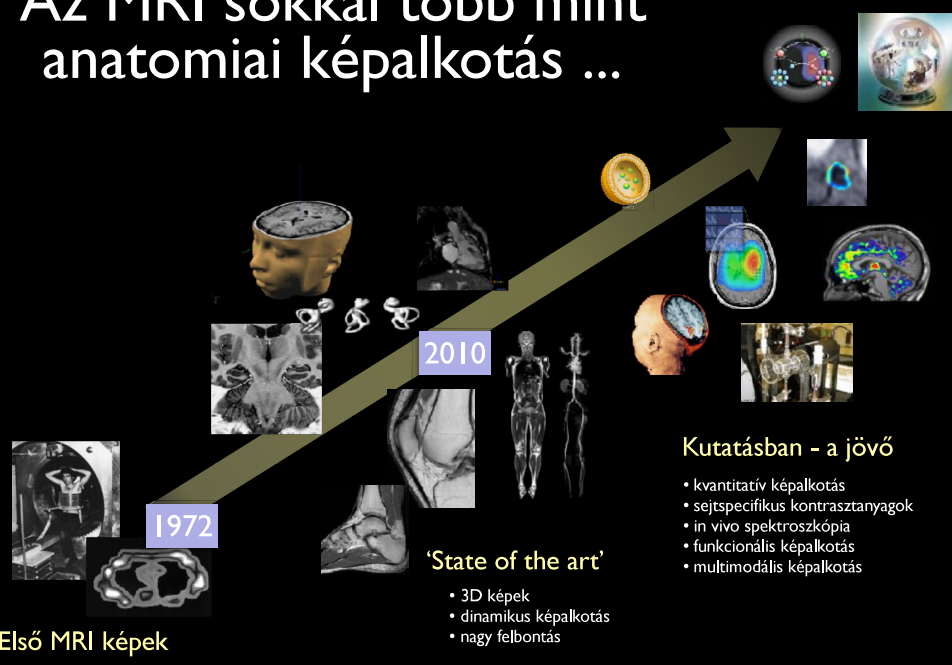
Anatomiai képalkotás: Onkológia



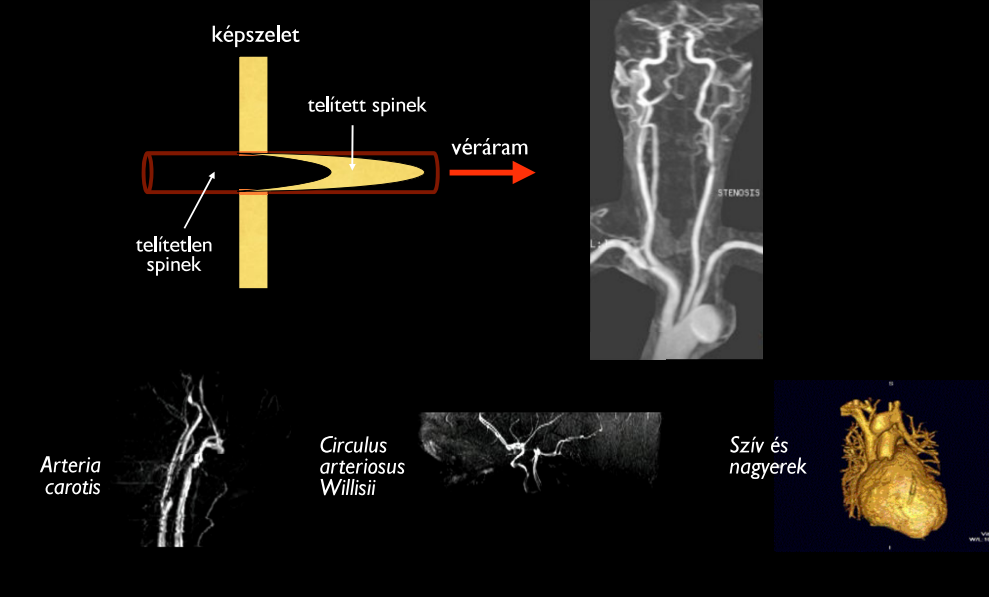
Anatomiai képalkotás csont és lágyrészek



Az MRI sokkal több mint
anatomiai képalkotás ...

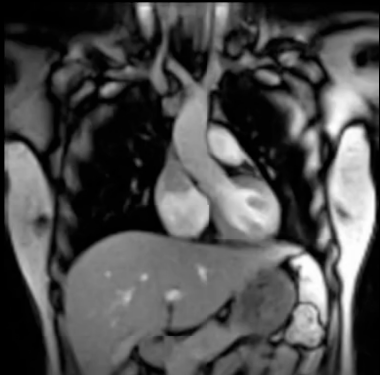


MRI: Non-invazív angiográfia



MRI mozgókép (valós idő)

Nagy időfelbontású felvételek alapján



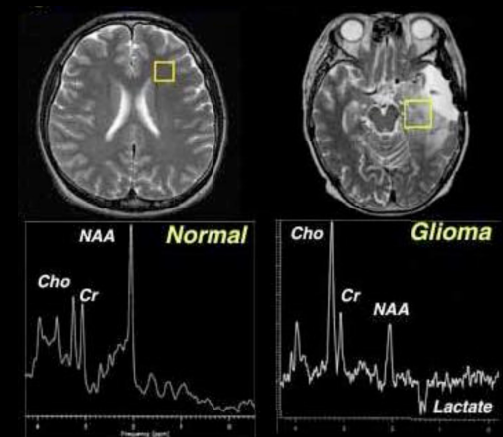
Mellkas - frontális képsorozat



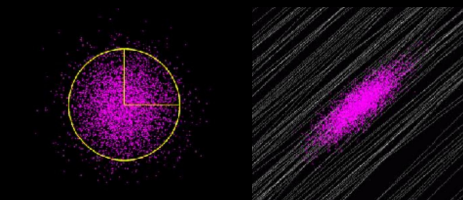
Aortabillentyű nyitódása - záródása

MR Spektroszkópia

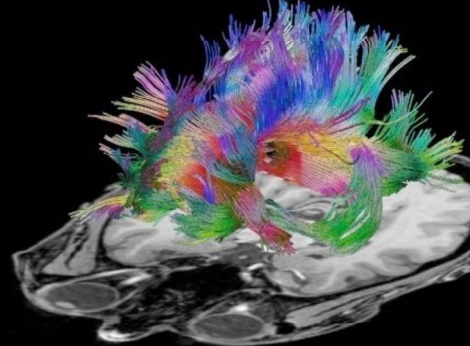
- Kémiai eltolódás (chemical shift)
- Metabolitok azonosítása
- Tumordiagnosztika



Diffúziós képalkotás



Anizotróp vízdiffúzió:
kontrasztkzpzdés

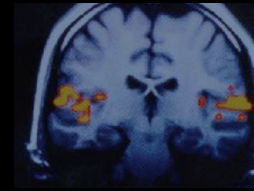


Idegpályák vizgálata:
traktográfia

Corpus callosum

Funkcionális MRI (fMRI)

Élettani folyamattal szinkron felvett
Nagy időfelbontású képsorozat



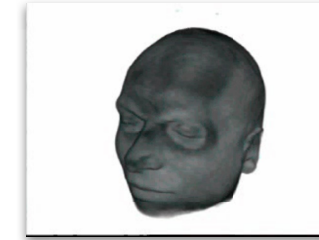
Aktiváció az acusticus
cortexben



Villogó fény hatása a
látókéregre

MRI információ szuperponálása egyéb információval (PET)

Szuperponált MRI és PET képsorozat



PET aktivitás: szemmozgatás során
Térbeli rekonstrukció